

环境科学

(HUANJING KEXUE)

ENVIRONMENTAL SCIENCE



第37卷 第11期

Vol.37 No.11

2016

中国科学院生态环境研究中心 主办
科学出版社 出版



目 次

- 承德市大气污染源排放清单及典型行业对 PM_{2.5}的影响 陈国磊, 周颖, 程水源, 杨孝文, 王晓琦(4069)
浙江省木制品行业挥发性有机物排放特征及排放系数 姚轶, 王浙明, 何志桥, 徐志荣, 顾震宇(4080)
山西省人为源 VOCs 排放清单及其对臭氧生成贡献 闫雨龙, 彭林(4086)
某化工区典型高污染过程 VOCs 污染特征及来源解析 高松, 崔虎雄, 伏晴艳, 高爽, 田新愿, 方方, 衣学文(4094)
加油 VOCs 排放因子测试方法研究与应用 黄玉虎, 常耀卿, 任碧琪, 秦建平, 胡玮, 刘明宇(4103)
北京市生活垃圾填埋场氨排放特征研究 崔彤, 李金香, 杨妍研, 程刚(4110)
西安市人为源大气氨排放清单及特征 苏航, 闫东杰, 黄学敏, 宋文斌, 王惠琴, 宋雪娟(4117)
佛山市冬夏季非甲烷烃污染特征研究 周雪明, 项萍, 段菁春, 贺克斌, 马永亮, 邓思欣, 司徒淑婷, 谭吉华(4124)
天津市道路环境大气颗粒物水溶性无机离子分析 赵梦雪, 吴琳, 方小珍, 杨志文, 李凤华, 毛洪钧(4133)
戴云山国家级自然保护区大气氮沉降特点 袁磊, 李文周, 陈文伟, 张金波, 蔡祖聪(4142)
青岛近海冬季大气生物气溶胶中微生物活性研究 孟祥斌, 李孟哲, 李鸿涛, 高冬梅, 郝建华(4147)
玉米秸秆烟尘中正构脂肪酸的分子与碳同位素组成 刘刚, 孙丽娜, 徐慧, 李久海, 李中平, 李立武(4156)
极低风速条件下水-气界面甲烷气体传输速率分析 张成, 吕新彪, 龙丽, 张军伟, 穆晓辉, 李迎晨, 王圣瑞, 张文丽, 肖尚斌(4162)
典型水库型湖泊中 CDOM 吸收及荧光光谱变化特征: 基于沿岸生态系统分析 陈雪霜, 江韬, 卢松, 白薇扬, 张成, 王定勇, 魏世强(4168)
西苕溪支流河口水体营养盐的特征及源贡献分析 陈诗文, 袁旭音, 金晶, 李正阳, 许海燕(4179)
周村水库主库区热分层初期氮素降低的驱动因子分析 张春华, 黄廷林, 方开凯, 周石磊, 夏超(4187)
太湖湖泛易发区沉积物中有机磷形态分布特征 董丹萍, 章婷曦, 张丁予, 王巧云, 李德芳, 王国祥(4194)
多重扰动对湖泊内源磷迁移转化的影响 蔡顺智, 李大鹏, 王忍, 刘焱见, 徐垚, 于胜楠, 黄勇(4203)
丹江口库区覆膜耕作土壤氮素淋失随夏玉米生长期的变化 王伟, 于兴修, 汉强, 刘航, 徐苗苗, 任瑞, 张家鹏(4212)
营养盐恢复对氮磷饥饿铜绿微囊藻生长的影响 岳冬梅, 李洁, 肖琳(4220)
氯灭活地下水水源中 3 种优势真菌的效能与机制 文刚, 朱红, 黄廷林, 赵建超, 任歲, 徐向前(4228)
净水工艺对饮用水中微生物多重耐药性的影响与分析 马晓琳, 陆洋, 王钰, 侯誉, 白晓慧(4235)
单过硫酸氢钾复合粉在饮用水消毒过程中的副产物生成特性及遗传毒性变化 敖秀玲, 李豪杰, 刘文君, 余京儒(4241)
三维有序介孔 Co₃O₄ 非均相活化单过硫酸氢钾降解罗丹明 B 冯善方, 邓思萍, 杜嘉雯, 马晓雁, 卢遇安, 高乃云, 邓靖(4247)
调控絮体形态强化电絮凝减缓膜污染 赵凯, 杨春风, 孙境求, 李静, 胡承志(4255)
初始 pH 值对序批式 CANON 工艺脱氮效果和 N₂O 释放的影响 付昆明, 王会芳, 苏雪莹, 周厚田(4261)
3DBER-S-Fe 同步脱氮除磷及去除邻苯二甲酸酯的工艺特性 张娅, 郝瑞霞, 徐鹏程, 徐忠强(4268)
基于反硝化脱氮的硫铁复合填料除磷机制 范军辉, 郝瑞霞, 李萌, 朱晓霞, 万京京(4275)
基于 ABR-MBR 组合工艺优化反硝化除磷性能的研究 程朝阳, 赵诗惠, 吕亮, 吴鹏, 沈耀良(4282)
中常温变化对 PN-ANAMMOX 联合工艺脱氮效果的影响 袁砚, 朱亮(4289)
生物活性炭对不同 C/N 比废水同步硝化反硝化脱氮效果的影响 崔延瑞, 邱鑫, 张庆荣, 王琦, 吴青, 孙剑辉(4296)
ANAMMOX 菌利用零价铁还原硝酸盐脱氮研究 周健, 完颜德卿, 黄勇, 刘忻, 袁怡, 李祥, 姚鹏程, 杨朋兵, 薛鹏程(4302)
间歇曝气 SBR 与传统 SBR 处理养猪沼液的比较研究 董宝刚, 宋小燕, 刘锐, 川岸朋树, 张永明, 陈吕军(4309)
应用解蛋白菌生物预水解剩余污泥 何品晶, 王颖, 胡洁, 吕凡, 邵立明(4317)
应用环境多介质逸度模型研究废旧电器拆解区多溴联苯醚的迁移及归趋 薛南冬, 陈宣宇, 杨兵, 秦普丰, 龙雨(4326)
南宁市多环境介质中多环芳烃分布特征 苗迎, 孔祥胜(4333)
杭州城区室内灰尘中多溴联苯醚的含量及人体暴露水平 金漫彤, 滕丹丹, 郑艳霞, 胡张璇, 沈学优, 金贊芳(4341)
应用线性自由能关系估算药用活性化合物的生物碳质-水吸附系数 王佳怡, 毕二平(4349)
表流湿地细菌群落结构特征 魏佳明, 崔丽娟, 李伟, 雷茵茹, 干菁菁, 秦鹏, 穆泳林, 梁钊瑞(4357)
城市污水中硝化菌群落结构与性能分析 于莉芳, 杜倩倩, 傅学煮, 张茹, 李文江, 彭党聪(4366)
DNA 和 cDNA 水平对比研究施肥对稻田土壤细菌多样性的影响 王聪, 吴讷, 侯海军, 汤亚芳, 沈健林, 秦红灵(4372)
培养条件下双酚 A 对稻田土壤微生物群落特征的影响 刘畅, 黄雅丹, 张莹, 斯振江, 梁月明, 宋昂, 王腾, 郭佳怡, 李强(4380)
1 株兼具好、厌氧汞甲基化能力细菌的分离鉴定 陶兰兰, 向玉萍, 王定勇, 黄曼琳, 申鸿(4389)
北京地区菜田土壤抗生素抗性基因的分布特征 张兰河, 王佳佳, 哈雪姣, 邱孟超, 高敏, 仇天雷, 王旭明(4395)
梅花鹿养殖场抗生素抗性基因分布特征 黄福义, 安新丽, 陈青林, 任红云, 苏建强(4402)
几种高硅质矿物细颗粒的 A549 细胞毒性对比 霍婷婷, 董发勤, 邓建军, 张青碧, 贺小春, 孙东平(4410)
添加复合吸附剂对壤土吸附菲和 Cr(VI) 的影响 李文斌, 孟昭福, 吴琼, 许绍娥, 刘泽(4419)
生物炭对西北黄土吸附壬基酚的影响 张振国, 蒋煜峰, 慕仲锋, 孙航, 周琦, 展惠英(4428)
集雨种植下不同沟垄比对土壤呼吸的影响及其对水热因子的响应 王昌江, 施成晓, 冯帆, 陈婷, 张磊, 吕晓康, 吴伟, 廖允成(4437)
秸秆还田与化肥减量配施对稻-菜轮作下土壤养分及酶活性的影响 黄容, 高明, 万毅林, 田冬, 陶睿, 王芳丽(4446)
《环境科学》征稿简则(4161) 《环境科学》征订启事(4365) 信息(4123, 4132, 4409)

生物活性炭对不同 C/N 比废水同步硝化反硝化脱氮效果的影响

崔延瑞, 邱鑫, 张庆荣, 王琦, 吴青, 孙剑辉

(河南师范大学环境学院, 黄淮水环境与污染防治教育部重点实验室, 河南省环境污染控制重点实验室, 新乡 453007)

摘要: 以连续运行的生物活性炭(biological activated carbon, BAC)填料反应器为研究对象, 与序批式活性污泥反应器(sequencing batch reactor, SBR)对比, 考察了BAC的加入对不同C/N比废水同步硝化反硝化(simultaneous nitrification and denitrification, SND)脱氮效果的影响。在室温(15~27℃), 初始溶解氧(dissolved oxygen, DO)质量浓度2~3 mg·L⁻¹条件下, 以甲醇做外加碳源, 分别设置进水C/N比为3、5、8和10运行120个周期, 比较两反应器的脱氮效果及稳定性。结果表明, C/N比由3依次升至5和8时BAC填料反应器脱氮效果优于SBR, TN平均去除率分别达44.88%、58.07%和66.64%。继续增大进水C/N至10, SBR发生污泥膨胀, 而BAC反应器仍能保持63.65%的TN去除率。实验证明BAC在单一反应器内创造了多样的溶解氧环境, 为SND创造了适宜的条件。BAC的加入减小了过量有机碳对硝化系统带来的影响, 扩大了反应器的C/N比适用范围, 增加了运行的稳定性, 提高了有机物的脱氮容量, 为高效脱氮提供了可能。

关键词: 生物活性炭; C/N比; 同步硝化反硝化; 溶解氧; 生物脱氮

中图分类号: X703.1 文献标识码: A 文章编号: 0250-3301(2016)11-4296-06 DOI: 10.13227/j.hjkx.201601020

Influence of Biological Activated Carbon on Simultaneous Nitrification and Denitrification in Inflow with Different C/N Ratios

CUI Yan-rui, QIU Xin, ZHANG Qing-rong, WANG Qi, WU Qing, SUN Jian-hui

(Key Laboratory for Yellow River and Huai River Water Environment and Pollution Control, Ministry of Education, Henan Key Laboratory of Environmental Pollution Control, School of Environment, Henan Normal University, Xinxiang 453007, China)

Abstract: Influence of biological activated carbon (BAC) on simultaneous nitrification and denitrification (SND) in inflow with different C/N ratios was investigated with continuous operation of BAC reactor and SBR. Methanol was added as carbon source and the inflow C/N ratio was set to 3, 5, 8 and 10 to run for about 120 cycles, under conditions of indoor temperature (15-27℃), initial DO 2-3 mg·L⁻¹. The TN removal efficiency and stability of two reactors were compared. The results showed that, BAC reactor had a higher TN removal efficiency than SBR at different C/N ratios. TN removal rate of BAC reactor was 44.88%, 58.07% and 66.64%, when the C/N ratio was 3, 5 and 8 respectively. After increasing the C/N ratio to 10, the BAC reactor could maintain TN removal rate of 63.65%, but the SBR showed sludge bulking. BAC provided various DO environments for microorganisms in a vessel, which was beneficial to SND. BAC could reduce the influence of excessive carbon source on the nitrification system, enlarge the application range and improve the stability of reactor at different C/N ratios, and increase the nitrogen removal capacity of organic matter. BAC provided condition for efficient nitrogen removal.

Key words: biological activated carbon (BAC); C/N; simultaneous nitrification and denitrification (SND); DO; biological nitrogen removal

同步硝化反硝化脱氮因具有工艺简单, 基建费用低, 碱度消耗较少等优点^[1,2], 越来越受到人们的青睐, 但该工艺存在微环境调控困难, 对进水碳源要求较高的弊端^[3,4]。在实际运行中, 废水的C/N比差异较大^[5,6], 在单一反应器同步生物脱氮工艺中, C/N比过高会增加异养好氧菌的活性及其对水中DO的竞争, 抑制硝化细菌活性, 影响硝化效果^[7,8], 甚至引起污泥膨胀^[9,10]。过低的C/N比又会导致反硝化不完全, 脱氮效果受到限制^[11]。频繁调整C/N比会增加运行费用和操作难度。如何增大反应器的C/N比适用范围, 在不调整碳源的条件下, 实现低

C/N比废水高效脱氮和高C/N比废水稳定脱氮, 是目前同步脱氮在应用中面临的难题。BAC以活性炭作生物载体, 利用活性炭的多孔结构创造不同的溶解氧条件, 为生物多样性提供可能。本研究拟采用BAC填料反应器处理不同C/N比废水, 与SBR反应器运行效果比较, 考察BAC对废水同步脱氮效果的影响, 以期为推动废水同步脱氮的应用提供理论支撑。

收稿日期: 2016-01-05; 修订日期: 2016-06-20

基金项目: 河南省教育厅科学技术研究重点项目(12B610005)

作者简介: 崔延瑞(1972~), 男, 博士, 副教授, 主要研究方向为水污染控制, E-mail:yanruicui@yeah.net

1 材料与方法

1.1 实验材料

实验采用人工配制废水,向自来水中加入NH₄Cl,配制进水NH₄⁺-N质量浓度为100~120 mg·L⁻¹,添加KH₂PO₄补充微生物生长必须的P元素,用NaHCO₃调节pH至8.0±0.1,以甲醇做外加碳源,通过调整碳源加入量分别配制进水C/N比为3、5、8和10。

实验所用污泥经驯化后对COD和NH₄⁺-N的去除率均达到90%以上。BAC培养阶段活性污泥由悬浮状态逐渐与活性炭接触附着生长,经过20 d左右BAC填料反应器对NH₄⁺-N和COD的去除率趋于稳定,均达到90%以上,BAC培养完成。初始污泥MLSS为3 367 mg·L⁻¹,SV₃₀为20%。使用柱状活性炭(granular activated carbon,GAC),碳粒直径4 mm,堆积密度600 g·L⁻¹。

1.2 实验装置及运行工艺

实验在室温条件(4月1日~7月6日)(15~27℃)下运行,两反应器分别编号SBR反应器和BAC反应器,活性污泥投加量均为1 L,BAC反应器另投加活性炭300 g,两反应器同步运行,操作条件相同。

反应器用有机玻璃制作,见图1。两个反应器外形和体积完全相同,高50 cm,内径9 cm,有效容积3 L。BAC反应器下部安装孔径1 mm,间距3 mm的圆形筛板用来承托活性炭。两反应器均通过安装在底部的曝气装置进行曝气,以空气流量计控制曝气量为0.009 m³·(L·h)⁻¹,各反应器初始平均DO质量浓度为2~3 mg·L⁻¹,并在底部设排水口。实验采取序批式运行方式,单周期12 h,进水0.25 h,曝气8 h,沉淀0.5 h,排水0.25 h,闲置3 h。

1.3 分析方法

NH₄⁺-N采用纳氏试剂分光光度法;NO₂⁻-N采用N-(1-萘基)-乙二胺分光光度法;NO₃⁻-N采用麝香草酚分光光度法;COD采用快速消解法;pH由pH-2603酸度计测定;MLSS按国家环境保护局发布的标准方法测定^[12]。

反应器内DO由JPB-607A溶解氧仪测定,在单周期运行开始前,将DO测定仪探头分别埋入各个监测点,读取同一时间不同监测点的DO质量浓度。

有机物脱氮容量按照以下公式计算^[13~15]:

$$\text{有机物脱氮容量} = \frac{\text{氮的去除量}}{\text{有机物消耗量}} \quad (1)$$

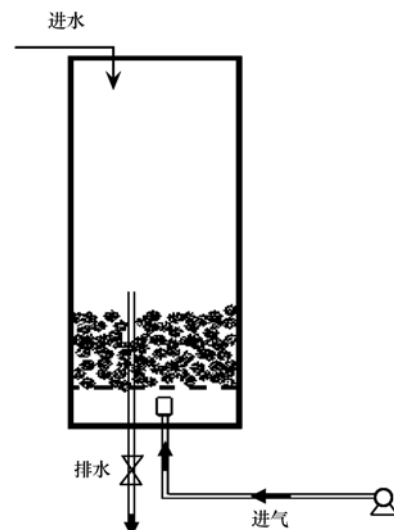


图1 BAC填料反应器装置示意

Fig. 1 Schematic diagram of BAC reactor

式中,有机物脱氮容量为反应器中消耗单位量有机物能够去除氮素的量(N/COD),mg·mg⁻¹;氮的去除量为TN去除量,mg;有机物消耗量为COD表示的有机物去除量,mg。

2 结果与讨论

2.1 BAC对不同C/N比废水脱氮效果的影响

为探究BAC对不同进水C/N比废水同步脱氮带来的影响,设计进水C/N比分别为3、5、8和10这4个阶段的实验,每天两个周期,连续运行120个周期,COD、TN和NH₄⁺-N去除效果如图2所示。

2.1.1 BAC对低C/N比废水脱氮效果的影响

由图2可知,当进水C/N比为3时(第1~20周期),BAC反应器TN平均去除率达44.88%,NH₄⁺-N和COD平均去除率分别保持在96.17%和92.88%;SBR反应器TN平均去除率为23.50%,NH₄⁺-N和COD平均去除率分别为95.81%和92.27%。增加进水C/N比为5时(第21~60周期),BAC反应器TN平均去除率达58.07%,NH₄⁺-N和COD平均去除率分别保持在93.70%和95.98%;SBR反应器TN平均去除率为34.80%,NH₄⁺-N和COD平均去除率分别为95.18%和91.17%。可以看出,C/N比为3和5时,两反应器NH₄⁺-N和COD去除率基本相同,但是,BAC反应器TN去除效果较SBR反应器有明显提高。为了分析这一现象产生的原因,监测了C/N比为5且运行稳定时BAC反应器和SBR反应器单周期内有机物和氮素的转化过程,如图3所示。

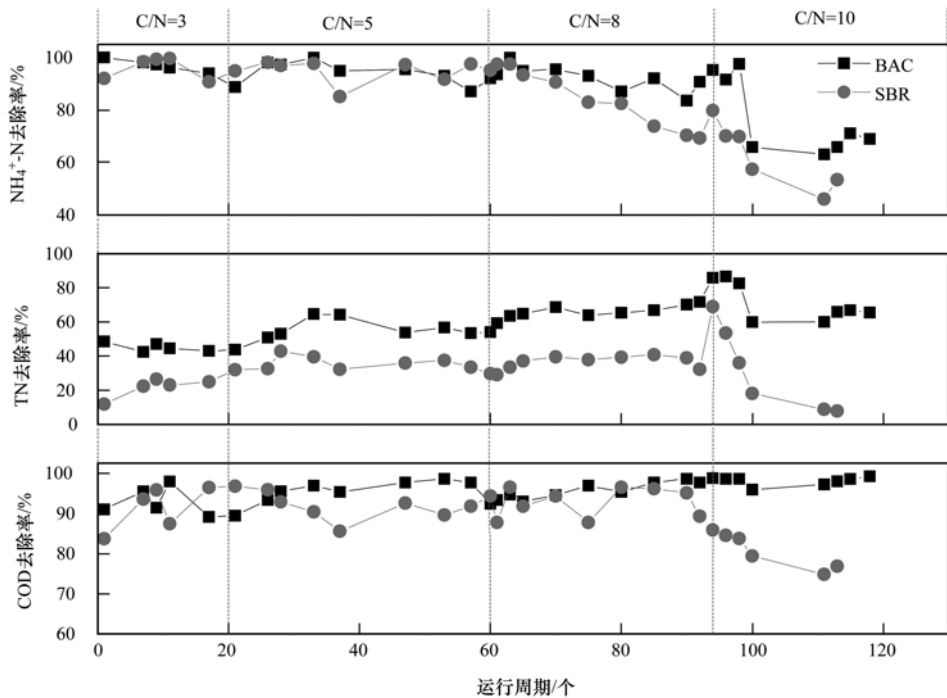


图2 不同进水C/N条件下各反应器污染物去除效果

Fig. 2 Removal efficiency of pollutants under different inflow C/N conditions in two reactors

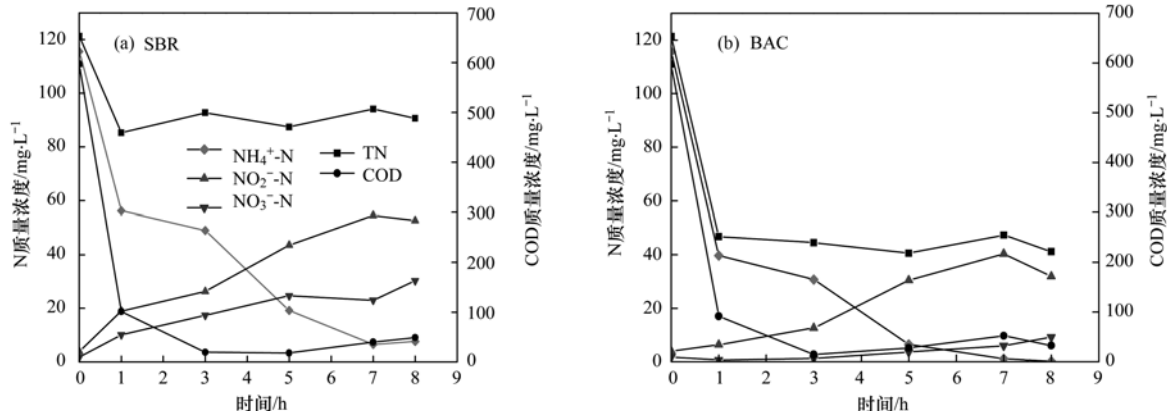


图3 SBR 和 BAC 反应器单周期 COD 及氮素随时间变化曲线

Fig. 3 Variation curves of nitrogen and COD vs time in one cycle of SBR and BAC reactors

由图3可知,进水NH₄⁺-N质量浓度为115.61 mg·L⁻¹,TN质量浓度为121.29 mg·L⁻¹. 经过1h曝气后,SBR和BAC反应器NH₄⁺-N质量浓度分别降至56.22 mg·L⁻¹和39.71 mg·L⁻¹,TN质量浓度分别降至85.28 mg·L⁻¹和46.73 mg·L⁻¹. BAC反应器内NH₄⁺-N和TN的含量明显低于SBR反应器. 分析原因,BAC反应器内活性炭的微孔结构创造了缺氧环境,且活性炭对进水有机物具有吸附作用,这两点抑制了BAC反应器内异养好氧菌的生长繁殖及其活性,减少了其对DO的竞争,同时,BAC填料促使气水接触更加充分,因此BAC反应器氨氧化更加彻底;反硝化过程中,反硝化菌利用BAC吸附的碳源

和氧化生成的NO₂⁻-N和NO₃⁻-N在缺氧区反应完成脱氮. 而在SBR反应器中,由于DO在污泥絮体中的扩散较BAC容易,所以反应器处在较高的DO条件下,好氧异养菌占据优势地位,在消耗有机物的同时还与硝化菌争夺氧,致使SBR反应器硝化和反硝化反应均受到抑制. 因此曝气初期BAC反应器脱氮效果优于SBR. 从反应的第2 h开始至反应结束,SBR内TN质量浓度基本保持不变,BAC反应器TN质量浓度由44.52 mg·L⁻¹缓慢降至41.15 mg·L⁻¹. 反应结束时SBR和BAC反应器出水NH₄⁺-N质量浓度均非常低,去除率分别为99.89%和99.22%,TN去除率分别为19.61%和52.95%,说明两反应器均

硝化完全,但由于SBR反应器缺乏有机碳源导致反硝化受阻,而BAC反应器中反硝化反应进行得较为顺利,推测原因是活性炭对有机物的吸附解吸为反硝化提供了部分碳源。综上,BAC的加入提高了低C/N比条件下的脱氮效果。

2.1.2 BAC对高C/N比废水脱氮效果的影响

同步脱氮过程中,通常在一定范围内C/N比越高脱氮效果越显著^[16],但是碳源加入量过多不仅会对TN的去除产生不利影响,而且在可溶解性有机物含量较高的情况下还容易发生污泥膨胀^[10]。

如图2,当进水C/N比继续提升至8时(第61~94周期),BAC反应器TN平均去除率达66.90%,NH₄⁺-N和COD平均去除率分别保持在89.27%和95.86%;SBR反应器TN平均去除率为37.45%,NH₄⁺-N和COD平均去除率分别为82.56%和93.41%。此阶段,BAC反应器TN去除效果显著高于SBR反应器,NH₄⁺-N去除效果也略高于SBR反应器,而COD去除率基本与SBR反应器持平。分析原因,随着碳源的增加SBR反应器中好氧异养菌活性增大并占据优势地位,消耗了大量的有机碳,并与硝化菌争夺氧,抑制了脱氮的顺利进行;BAC反应器中活性炭内部的空隙结构阻碍了氧的传递,抑制了好氧异养菌的生长繁殖,对硝化系统起到了保护作用。继续提升进水C/N比至10时(第95~120周期),BAC反应器TN平均去除率呈现先升高后降低的趋势,并逐渐稳定在63.65%,NH₄⁺-N去除率降低至67%左右,COD去除率仍保持在95.86%。而SBR反应器在进水C/N比增加的第3个周期时便出现了严重的污泥膨胀,SV₃₀由20%增至80%,出水水质变差,NH₄⁺-N、TN和COD去除

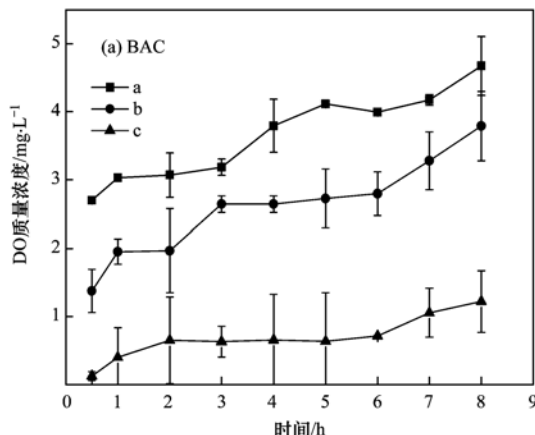
率均出现明显下降。这与已报道的,污水中悬浮固体少,溶解性和易降解的有机物组分较多时容易发生非丝状菌性污泥膨胀的研究结果相符^[17]。引起这一现象的原因是过高的污泥负荷使细菌摄取了大量营养物,高粘性多糖类物质大量积累,污泥中结合水异常增多,从而引起污泥膨胀。取消进水碳源运行数天后SBR反应器脱氮能力逐渐恢复,污泥膨胀得到解决。而BAC反应器中活性炭对有机物的吸附减少了细菌对营养物质的摄取,另外活性炭的加入避免了微生物的粘黏,因此BAC反应器在高C/N比高DO条件下仍可以保持脱氮的稳定运行。

2.2 废水脱氮过程中BAC作用分析

综上,BAC反应器不仅在低C/N条件下(C/N=3、C/N=5)可以实现较好的脱氮效果,而且,在高C/N比条件下(C/N=8、C/N=10)BAC反应器还能有效避免碳源过多引起的污泥膨胀,实现了脱氮的稳定运行。前面的分析认为,BAC的加入对同步脱氮的影响主要有两个方面:①BAC为微生物提供了多样的DO环境;②BAC对进水中有机物的吸附/解吸作用为脱氮提供了稳定的碳源条件。为了验证以上推论,开展了以下实验研究。

2.2.1 BAC反应器DO分布测定

为了验证分析①,测定了C/N比为5时两反应器单周期内DO分布情况,见图4。经测定,BAC反应器上部水体中平均DO为3.64 mg·L⁻¹,活性炭填料层与水体接触面平均DO为2.57 mg·L⁻¹,活性炭填料层内部平均DO为0.68 mg·L⁻¹;SBR由于混合均匀,因此选取SBR反应器中部为监测点,结果显示该监测点平均DO质量浓度为3.74 mg·L⁻¹。与BAC反应器上部水体中(图4中曲线a)DO质量



曲线a: BAC反应器水体中DO质量浓度;曲线b:活性炭填料层与水体接触面DO质量浓度;曲线c:活性炭填料层内部DO质量浓度

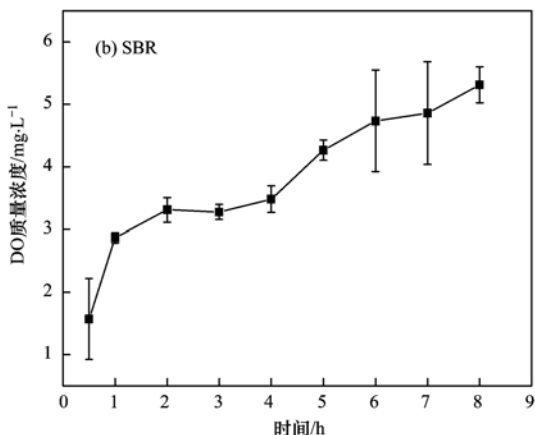


图4 BAC反应器和SBR内DO分布

Fig. 4 Distribution of DO in BAC reactor and SBR

浓度基本相同。其原因是：BAC反应器中活性炭的堆积，共生微生物的附着，以及活性炭丰富的微孔结构，使DO由水体扩散至活性炭填料层内时形成氧质量浓度梯度，为硝化和反硝化的实现提供了各自所需要的场所；而SBR反应器中DO在活性污泥混合液中扩散较容易，张可方等^[18]研究表明反应器内部DO环境整体处于较高的水平，缺氧环境受限，反硝化受到抑制。

由此说明，活性炭的加入在同一反应器中创造了不同的DO环境，为同步硝化反硝化脱氮提供了更加适宜的条件。

2.2.2 BAC吸附/解吸有机物

为了验证分析②，设计以下实验：实验结束后（120周期），从BAC反应器中取出100g活性炭，加入1L自来水中，加以搅拌，间隔取样，测定水体中COD的质量浓度，确定BAC反应器中有机物是否发生了解吸，监测结果如图5所示。从中可知，在进水无外加碳源的情况下，随着搅拌的进行，水中COD质量浓度缓慢上升后达到平衡，平衡时水中COD质量浓度达 $127.56\text{ mg}\cdot\text{L}^{-1}$ 。由此说明BAC对水中有有机物存在吸附作用，且吸附的有机物在水中碳源缺乏的情况下会得到解吸。

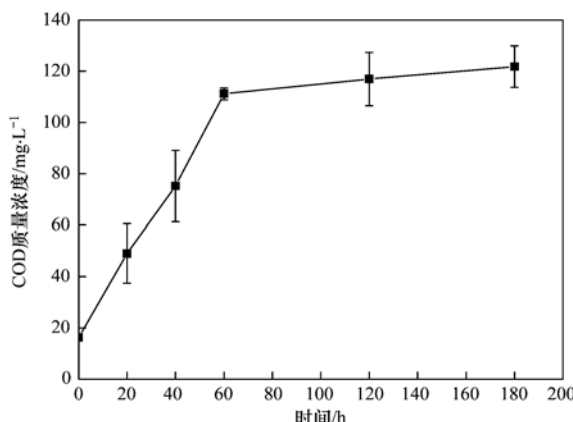


图5 BAC有机物解吸

Fig. 5 Desorption of organic matter on BAC

由以上实验结果，BAC在同步脱氮的过程中，不仅为硝化菌、反硝化菌提供了好氧、缺氧环境，而且其对碳源的吸附/解吸作用保证了反应器的脱氮效果。低C/N比条件下，BAC吸附的有机物得到解吸，有利于反硝化的进行，为同步脱氮提供了保障；当进水C/N比过高时，BAC对有机碳源的吸附减轻了微生物的有机负荷，保证了系统的稳定运行。

2.3 有机物脱氮容量比较

有机物脱氮容量指生物脱氮反应结束时，氮的

去除量与反应器中有机物的消耗量之比^[13~15]。碳源在生物脱氮系统中的作用有3点：其一为反硝化脱氮的电子供体；其二用于微生物的生长；其三用于脱氧。由于理论上单位质量有机物可去除的氮素为定值^[19]，因此在反应器中碳源用于脱氮的比重越大，有机物脱氮容量越大，表明反应器脱氮能力越强。通过对有机物脱氮容量的分析，可以更加直观地了解反应器脱氮能力。

SBR反应器与BAC反应器各阶段进水水质相同，根据公式(1)计算不同C/N比条件下两反应器的有机物脱氮容量，计算结果见表1。

表1 有机物脱氮容量

Table 1 Nitrogen removal capacity of organic matter

反应器类型	有机物脱氮容量(N/COD)/mg·mg⁻¹			
	C/N = 3	C/N = 5	C/N = 8	C/N = 10
SBR	0.085	0.076	0.050	—
BAC	0.161	0.121	0.087	0.066

由表1，随着进水C/N比的提高，SBR与BAC反应器有机物脱氮容量均有所减小，说明碳源加入量越大，反应器去除的有机物中用于脱氮的比重越小。其原因是：增加进水有机物质量浓度只能增加有机物去除量，去除一定量氮素所消耗的有机物量是一个定值，有机物用于脱氮的比重必定随之减小；另外，在曝气条件下随着进水C/N的增加，异养好氧菌活性逐渐增大，有机物更容易被好氧异养菌消耗，进一步减小了有机物用于脱氮的比重。比较不同C/N比条件下，SBR与BAC两反应器的有机物脱氮容量可知，BAC反应器有机物脱氮容量远高于SBR反应器，说明BAC反应器提高了有机物用于脱氮的比重，其原因是活性炭对有机物的吸附解吸作用为反硝化提供了部分碳源，且BAC内部存在好氧和厌氧区，异养好氧菌生长及活性受到抑制，从而减少了异养好氧菌消耗的有机物量，更多的有机物被用于生物脱氮。BAC反应器较高的有机物脱氮容量表明BAC的加入提高了有机物用于脱氮的比重，BAC反应器可以更有效地利用已有碳源充分进行脱氮。

3 结论

(1) 在低C/N比条件下，BAC反应器中活性炭对有机物的吸附解吸作用，为反硝化提供了部分碳源，提高了低C/N比条件下的脱氮效果。

(2) 进水C/N比较高的情况下，BAC反应器中活性炭的加入抑制了好氧异养菌的生长繁殖，对硝

化系统起到保护作用。

(3) BAC 在废水同步脱氮的过程中,不仅为硝化菌、反硝化菌提供了好氧、缺氧环境,而且为反硝化反应提供了碳源的贮存场所,有助于同步脱氮的进行。

(4) BAC 的加入提高了有机物的脱氮容量,扩大了反应器同步硝化反硝化脱氮的废水 C/N 比适用范围。

参考文献:

- [1] Lochmatter S, Maillard J, Holliger C. Nitrogen removal over nitrite by aeration control in aerobic granular sludge sequencing batch reactors [J]. International Journal of Environmental Research and Public Health, 2014, **11**(7): 6955-6978.
- [2] Yang S, Yang F L. Nitrogen removal via short-cut simultaneous nitrification and denitrification in an intermittently aerated moving bed membrane bioreactor [J]. Journal of Hazardous Materials, 2011, **195**: 318-323.
- [3] 魏海娟, 张永祥, 张粲. 移动床生物膜系统 SND 影响因素研究[J]. 环境科学, 2009, **30**(8): 2342-2346.
- Wei H J, Zhang Y X, Zhang C. Study on affecting factors of simultaneous nitrification and denitrification in moving-bed biofilm system [J]. Environmental Science, 2009, **30** (8): 2342-2346.
- [4] 张岩, 郭岩, 白玉华, 等. 附积床生物膜反应器同步硝化反硝化脱氮特性[J]. 环境科学, 2010, **31**(1): 134-139.
- Zhang Y, Guo Y, Bai Y H, et al. Simultaneous nitrification and denitrification by catching bed biofilm reactor [J]. Environmental Science, 2010, **31**(1): 134-139.
- [5] 魏臻, 胡勇有, 方平. 陶粒移动床处理低浓度生活污水的性能[J]. 环境科学学报, 2011, **31**(1): 46-53.
- Wei Z, Hu Y Y, Fang P. Performance of a ceramic moving bed biofilm reactor for treatment of low strength sewage [J]. Acta Scientiae Circumstantiae, 2011, **31**(1): 46-53.
- [6] 李欣, 彭永臻, 王建华, 等. A²O-BAF 与 A²O 工艺处理较高 C/N 比生活污水时的污泥沉降性对比分析[J]. 中南大学学报(自然科学版), 2012, **43**(3): 1198-1203.
- Li X, Peng Y Z, Wang J H, et al. Comparative analysis of sludge settleability of A²O-BAF process and A²O process treating higher C/N ratio domestic sewage [J]. Journal of Central South University (Science and Technology), 2012, **43** (3): 1198-1203.
- [7] Xia S Q, Li J Y, Wang R C. Nitrogen removal performance and microbial community structure dynamics response to carbon nitrogen ratio in a compact suspended carrier biofilm reactor [J]. Ecological Engineering, 2008, **32**(3): 256-262.
- [8] Zhang P, Zhou Q. Simultaneous nitrification and denitrification in activated sludge system under low oxygen concentration [J]. Frontiers of Environmental Science & Engineering in China, 2007, **1**(1): 49-52.
- [9] Tanaka H, Kurano N, Ueda S, et al. Model system of bulking and flocculation in mixed culture of *Sphaerotilus* sp. and *Pseudomonas* sp. for dissolved oxygen deficiency and high loading [J]. Water Research, 1985, **19**(5): 563-571.
- [10] 陈灌, 彭永臻, 刘敏, 等. SBR 法处理生活污水时非丝状菌污泥膨胀的发生与控制[J]. 环境科学学报, 2005, **25**(1): 105-108.
- Chen Y, Peng Y Z, Liu M, et al. Non-filamentous activated sludge bulking in SBR treating the domestic wastewater [J]. Acta Scientiae Circumstantiae, 2005, **25**(1): 105-108.
- [11] 曾薇, 彭永臻, 王淑莹, 等. 两段 SBR 法去除有机物及短程硝化反硝化[J]. 环境科学, 2002, **23**(2): 50-54.
- Zeng W, Peng Y Z, Wang S Y, et al. Using a two-stage SBR process for removal of organics and nitrification-denitrification via nitrite [J]. Environmental Science, 2002, **23**(2): 50-54.
- [12] 国家环境保护总局. 水和废水监测分析方法 [M]. (第三版). 北京: 中国环境科学出版社, 1989. 107.
- [13] 金春姬, 余宗莲, 高京淑, 等. 低 C/N 比污水生物脱氮所需外加碳源量的确定[J]. 环境科学研究, 2003, **16**(5): 37-40.
- Jin C J, She Z L, Ko K S, et al. Determination of demand of external carbon source for biological nitrogen removal of wastewater with low C/N ratio [J]. Research of Environmental Sciences, 2003, **16**(5): 37-40.
- [14] Nyberg U, Aspegren H, Andersson B, et al. Full-scale application of nitrogen removal with methanol as carbon source [J]. Water Science and Technology, 1992, **26**(5-6): 1077-1086.
- [15] Henze M, Grady Jr C P L, Gujer W, et al. A general model for single-sludge wastewater treatment systems [J]. Water Research, 1987, **21**(5): 505-515.
- [16] Zhu R L, Wang S Y, Li J, et al. Effect of influent C/N ratio on nitrogen removal using PHB as electron donor in a post-denitrification SBR [J]. Journal of Chemical Technology and Biotechnology, 2013, **88**(10): 1898-1905.
- [17] 陈安稳, 时翔云, 于鲁冀, 等. 污泥膨胀的原因及其控制方法[J]. 中国农学通报, 2006, **22**(12): 296-299.
- Chen A W, Shi X Y, Yu L J, et al. Study on activated sludge bulking and control [J]. Chinese Agricultural Science Bulletin, 2006, **22**(12): 296-299.
- [18] 张可方, 杜馨, 张朝升, 等. DO C/N 对同步硝化反硝化影响的试验研究[J]. 环境科学与技术, 2007, **30**(6): 3-5.
- Zhang K F, Du X, Zhang C S, et al. Influences of DO and C/N on simultaneous nitrification and denitrification [J]. Environmental Science & Technology, 2007, **30**(6): 3-5.
- [19] 张树德. 厌氧氨氧化生物滤池脱氮工艺特性研究[D]. 北京: 北京工业大学, 2008. 9.

CONTENTS

Air Pollutant Emission Inventory and Impact of Typical Industries on PM _{2.5} in Chengde	CHEN Guo-lei, ZHOU Ying, CHENG Shui-yuan, et al. (4069)
Pollution Characteristics and Emission Coefficient of Volatile Organic Compounds from Woodwork-making Industry in Zhejiang Province	YAO Yi, WANG Zhe-ming, HE Zhi-qiao, et al. (4080)
Emission Inventory of Anthropogenic VOCs and Its Contribution to Ozone Formation in Shanxi Province	YAN Yu-long, PENG Lin (4086)
Characteristics and Source Apportionment of VOCs of High Pollution Process at Chemical Industrial Area in Winter of China	GAO Song, CUI Hu-xiong, FU Qing-yan, et al. (4094)
Study and Application of Test Method for VOCs Emission Factor of Refueling in Service Station	HUANG Yu-hu, CHANG Yao-qing, REN Bi-qj, et al. (4103)
NH ₃ Emission Characteristics in Landfill Sites in Beijing	CUI Tong, LI Jin-xiang, YANG Yan-yan, et al. (4110)
Inventory and Characteristics of Anthropogenic Ammonia Emission in Xi'an	SU Hang, YAN Dong-jie, HUANG Xue-min, et al. (4117)
Pollution Characteristics of Non-methane Hydrocarbons During Winter and Summer in Foshan City	ZHOU Xue-ming, XIANG Ping, DUAN Jing-chun, et al. (4124)
Water-soluble Inorganic Ions in the Road Ambient Atmospheric Particles of Tianjin	ZHAO Meng-xue, WU Lin, FANG Xiao-zhen, et al. (4133)
Characteristics of Nitrogen Deposition in Daiyin Mountain National Nature Reserve	YUAN Lei, LI Wen-zhou, CHEN Wen-wei, et al. (4142)
Microbial Activity in Bioaerosols in Winter at the Coastal Region of Qingdao	MENG Xiang-bin, LI Meng-zhe, LI Hong-tao, et al. (4147)
Molecular and Carbon Isotopic Compositions of <i>n</i> -Alkanic Acids in Smoke from Maize Straw Combustion	LIU Gang, SUN Li-na, XU Hui, et al. (4156)
Gas Transfer Velocity of CH ₄ at Extremely Low Wind Speeds	ZHANG Cheng, LÜ Xin-biao, LONG Li, et al. (4162)
Spectral Characteristics of Chromophoric Dissolved Organic Matter (DOM) from a Typical Reservoir Lake from Inland of Three Gorges Reservoir Areas: In the View of Riparian Ecosystem Analysis	CHEN Xue-shuang, JIANG Tao, LU Song, et al. (4168)
Characteristics and Pollution Source Analysis of Nutrients in Tributary Outlets of Xitaoxi Watershed	CHEN Shi-wen, YUAN Xu-yin, JIN Jing, et al. (4179)
Analysis of Driving Factors on the Nitrogen Decrease in the Early Stage of the Thermal Stratification in Main Area of Zhoucun Reservoir	ZHANG Chun-hua, HUANG Ting-lin, FANG Kai-kai, et al. (4187)
Characteristics of Organic Phosphorus Fractions in the Sediments of the Black Water Aggregation in Lake Taihu	DONG Dan-ping, ZHANG Ting-xi, ZHANG Ding-yu, et al. (4194)
Impacts of Multiple Disturbance on Migration and Transformation of Endogenous Phosphorus in Lake	CAI Shun-zhi, LI Da-peng, WANG Ren, et al. (4203)
Change of Soil Nitrogen Leaching with Summer Maize Growing Periods Under Plastic Film Mulched Cultivation in Danjiangkou Reservoir Area, China	WANG Wei, YU Xing-xiu, HAN Qiang, et al. (4212)
Nutrients Recovery on the Growth of Nitrogen and Phosphorus Starved <i>Microcystis aeruginosa</i>	YUE Dong-me, LI Jie, XIAO Lin (4220)
Inactivation Efficiency and Mechanism of Three Dominant Fungal Spores in Drinking Groundwater by Chlorine	WEN Gang, ZHU Hong, HUANG Ting-lin, et al. (4228)
Effect of Water Treatment Process on the Bacterial Multidrug Resistance in Drinking Water	MA Xiao-lin, LU Yang, WANG Yu, et al. (4235)
Characteristics of Disinfection By-products and Genotoxicity During Drinking Water Disinfection with Potassium Monopersulfate Compound Powder	AO Xiu-wei, LI Hao-jie, LIU Wen-jun, et al. (4241)
Heterogeneous Activation of Peroxymonosulfate with Three-dimensional Ordered Mesoporous Co ₃ O ₄ for the Degradation of Rhodamine B	FENG Shan-fang, DENG Si-ping, DU Jia-wen, et al. (4247)
Enhanced Mitigation of Membrane Fouling by Regulations on Floc Morphology in Electrocoagulation	ZHAO Kai, YANG Chun-feng, SUN Jing-qiu, et al. (4255)
Effect of Initial pH on Nitrogen Removal Performance and N ₂ O Emission of a Sequencing Batch CANON Reactor	FU Kun-ming, WANG Hui-fang, SU Xue-ying, et al. (4261)
Operational Characteristics of the Simultaneous Nitrogen and Phosphorus Removal and Removal of Phthalate Esters by Three-dimensional Biofilm-electrode Coupled with Iron/Sulfur Reactor	ZHANG Ya, HAO Rui-xia, XU Peng-cheng, et al. (4268)
Phosphorus Removal Mechanism of Sulfur/Sponge Iron Composite Fillers Based on Denitrification	FAN Jun-hui, HAO Rui-xia, LI Meng, et al. (4275)
Optimization of Denitrifying Phosphorus Removal Performance Based on ABR-MBR Combined Process	CHENG Chao-ying, ZHAO Shi-hui, LÜ Liang, et al. (4282)
Effect of Moderate and Room Temperature on Nitrogen Removal in PN-ANAMMOX Process	YUAN Yan, ZHU Liang (4289)
Influence of Biological Activated Carbon on Simultaneous Nitrification and Denitrification in Inflow with Different C/N Ratios	CUI Yan-ni, QIU Xin, ZHANG Qing-tong, et al. (4296)
Biotransformation of Nitrate to Nitrogen Gas Driven by ANAMMOX Microbes via Zero-valent Iron Under Anaerobic Conditions	ZHOU Jian, WANYAN De-qing, HUANG Yong, et al. (4302)
A Comparative Study on Performance of an Intermittent Aeration SBR and a Traditional SBR for Treatment of Digested Piggy Wastewater	DONG Bao-gang, SONG Xiao-yan, LIU Rui, et al. (4309)
Biological Pre-treatment of Surplus Sludge Using the Protease-secreting Bacteria	HE Pin-jing, WANG Ying, HU Jie, et al. (4317)
Transfer and Fate of Polybrominated Diphenyl Ethers in an Electrical Equipment Dismantling Area Using a Multimedia Fugacity Model	XUE Nan-dong, CHEN Xuan-yu, YANG Bing, et al. (4326)
Distribution Characteristics of Polycyclic Aromatic Hydrocarbons in Environmental Media in Nanning City	MIAO Ying, KONG Xiang-sheng (4333)
PBDEs Levels in House Dust and Human Exposure to PBDEs via Dust Ingestion in Hangzhou	JIN Man-tong, TENG Dan-dan, ZHENG Yan-xia, et al. (4341)
Evaluating Biochar-Water Sorption Coefficients of Pharmaceutically Active Compounds by Using a Linear Free Energy Relationship	WANG Jia-yi, BI Er-ping (4349)
Characteristics of Bacterial Communities in Surface-flow Constructed Wetlands	WEI Jia-ming, CUI Li-juan, LI Wei, et al. (4357)
Community Structure and Activity Analysis of the Nitrifiers in Raw Sewage of Wastewater Treatment Plants	YU Li-fang, DU Qian-qian, FU Xue-tao, et al. (4366)
Effects of Fertilization on Soil Microbial Abundance and Community Structure at DNA and cDNA Levels in Paddy Soils	WANG Cong, WU Ne, HOU Hai-jun, et al. (4372)
Effects of Bisphenol A on Characteristics of Paddy Soil Microbial Community Under Different Cultural Conditions	LIU Chang, HUANG Ya-dan, ZHANG Ying, et al. (4380)
Identification of a Facultative Bacterium Strain with the Ability to Methylate Mercury Under Both Aerobic and Anaerobic Conditions	TAO Lan-lan, XIANG Yu-ping, WANG Ding-yong, et al. (4389)
Distribution Characteristics of Antibiotic Resistance Genes in Vegetable Soils in Beijing	ZHANG Lan-he, WANG Jia-jia, HA Xue-jiao, et al. (4395)
Distribution Characteristics of Antibiotic Resistance Genes in Sika Deer Farm	HUANG Fu-yi, AN Xin-li, CHEN Qing-lin, et al. (4402)
Comparation of Toxic Effect of Silicious Mineral Dusts on Lung Epithelial A549 Cells	HUO Ting-ting, DONG Fa-qin, DENG Jian-jun, et al. (4410)
Effect of Adding Compound Adsorbent on Phenanthrene and Cr(VI) Absorption by Lou Soil	LI Wen-bin, MENG Zhao-fu, WU Qiong, et al. (4419)
Effect of Biochar on Adsorption Behavior of Nonylphenol onto Loess Soil in Northwest China	ZHANG Zhen-guo, JIANG Yu-feng, MU Zhong-feng, et al. (4428)
Soil Respiration in Response to Different Ridge/Furrow Ratios and Its Relationship with Soil Moisture and Temperature Under Ridge-Furrow Planting Patterns	WANG Chang-jiang, SHI Cheng-xiao, FENG Fan, et al. (4437)
Effects of Straw in Combination with Reducing Fertilization Rate on Soil Nutrients and Enzyme Activity in the Paddy-Vegetable Rotation Soils	HUANG Rong, GAO Ming, WAN Yi-lin, et al. (4446)

《环境科学》第6届编辑委员会

主编：赵进才

副主编：赵景柱 郝吉明 田刚

编委：(按姓氏笔画排序)

万国江 王华聪 王凯军 王绪绪 田刚 田静 史培军
朱永官 刘志培 刘毅 汤鸿霄 孟伟 周宗灿 林金明
赵进才 赵景柱 姜林 郝郑平 郝吉明 聂永丰 黄霞
黄耀 鲍强 潘纲 潘涛 魏复盛



ENVIRONMENTAL SCIENCE

(HUANJING KEXUE)

(月刊 1976年8月创刊)

2016年11月15日 第37卷 第11期

(Monthly Started in 1976)

Vol. 37 No. 11 Nov. 15, 2016

主 管	中国科学院	Superintended	by Chinese Academy of Sciences
主 办	中国科学院生态环境研究中心	Sponsored	by Research Center for Eco-Environmental Sciences, Chinese Academy of Sciences
协 办	(以参加先后为序)	Co-Sponsored	by Beijing Municipal Research Institute of Environmental Protection
	北京市环境保护科学研究院		School of Environment, Tsinghua University
	清华大学环境学院		ZHAO Jin-cai
主 编	赵进才	Editor-in -Chief	by The Editorial Board of Environmental Science (HUANJING KEXUE)
编 辑	《环境科学》编辑委员会	Edited	P. O. Box 2871 ,Beijing 100085 ,China
	北京市2871信箱(海淀区双清路18号,邮政编码:100085)		Tel:010-62941102,010-62849343 ; Fax:010-62849343
	电话:010-62941102,010-62849343		E-mail:hjkx@rcees.ac.cn
	传真:010-62849343		http://www.hjkx.ac.cn
	E-mail:hjkx@rcees.ac.cn		
	http://www.hjkx.ac.cn		
出 版	科 学 出 版 社	Published	by Science Press
	北京东黄城根北街16号		16 Donghuangchenggen North Street ,
	邮政编码:100717		Beijing 100717 ,China
印 刷 装 订	北京北林印刷厂	Printed	by Beijing Bei Lin Printing House
发 行	科 学 出 版 社	Distributed	by Science Press
	电话:010-64017032		Tel:010-64017032
	E-mail:journal@mail.sciencep.com		E-mail:journal@mail.sciencep.com
订 购 处	全国各地邮局	Domestic	All Local Post Offices in China
国外总发行	中国国际图书贸易集团有限公司	Foreign	China International Book Trading Corporation (Guoji Shudian) ,P. O. Box 399 ,Beijing 100044 ,China
	(北京399信箱)		

中国标准刊号: ISSN 0250-3301
CN 11-1895/X

国内邮发代号: 2-821

国 内 定 价: 120.00 元 国外发行代号: M 205

国 内 外 公 开 发 行